

フジタ工業(株) 技術研究所 正員 福島 伸二
フジタ工業(株) 技術研究所 正員 石井 武美
フジタ工業(株) 技術研究所 齋田 明

1. まえがき

フィルダムのコアサン中の土の要素は拘束圧下にあり、またコア内を浸透する際の動水勾配の大きさもその位置により異なっている。コア材の透水性を正確に評価するにはこれら拘束圧あるいは動水勾配の影響を考慮する必要があるが、通常の透水試験機は拘束圧、動水勾配を自由に制御できないのでこの目的には適していない。特に通常の透水試験機における問題点は供試体の応力状態が不明確なことにある。そこで拘束圧におけるコア材の透水性を調べるために以下を考慮に入れて拘束圧、動水勾配をそれぞれ独立に制御できる透水試験機を製作した。

(1) 通常の透水試験により透水性に問題があるとされるコア材であるても拘束圧、動水勾配の影響を考慮して透水性を正確に評価することにより使用できる材料の範囲を拡大できる可能性があるからであることから、かなりの粗粒子が入っても試験ができるよう直径10cm、高さ20cmの供試体で試験できるようにする。

(2) 三軸試験機を用いて透水試験ができるようヒヨウ材の透水性を調べた後三軸圧縮試験を実施することができる強度、応力～ひずみ特性を同一の供試体で知ることができる。この試験をダムの現場試験室でも実施できるよう試験操作や構造を簡単にして安価な試験機とする。

ここでは新しく製作した拘束圧制御型の透水試験機を用いてコア材において土と砂土と豊浦砂の拘束圧下における透水性を調べた結果を報告する。

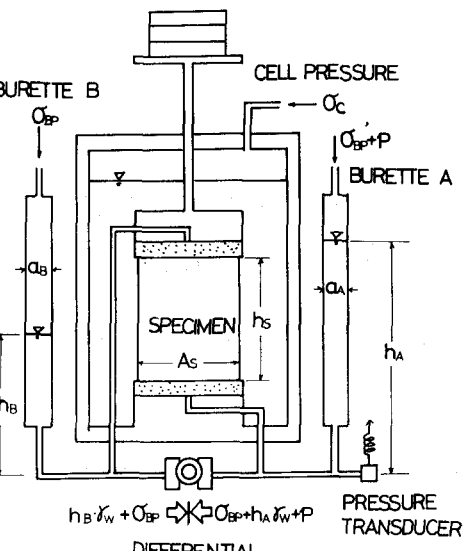


Fig. 1 拘束圧制御型透水試験システム

2. 拘束圧制御型透水試験機

透水試験機はFig. 1に示すような供試体上背圧(O_{bp})を加えた状態で拘束圧、動水勾配を広範囲に制御できるものであるが、供試体上水を除く際の圧力Pを有効側圧(O_c)よりも大きくはできない($P \leq O_c$)。供試体に水を流す際の動水勾配の制御は2つのビュレットA、BからビュレットAに空気圧(P)を加えて行なうが、この時の両ビュレット間の圧力差を差圧計で測定し、この測定値(DP)から動水勾配(i)を

$$i = DP/g_w h_s \quad (DP = P + (h_a - h_b)g_w)$$

として計算する。但し、両ビュレットの圧力差が大きく水位差($h_a - h_b$)が無視できるような場合($P \gg (h_a - h_b)g_w$)ではビュレットAの圧力を圧力変換器で測定してもよい。拘束圧、背圧、動水勾配の制御はFig. 2に示す空気圧制御システムで行なう。この透水試験システムにおける

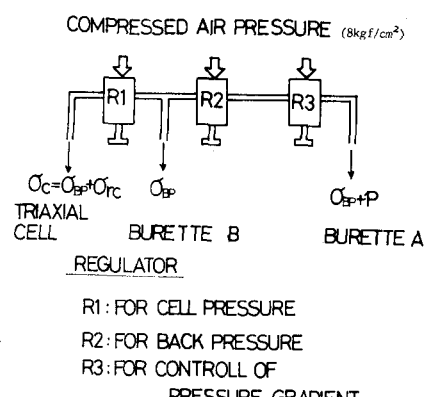


Fig. 2 空気圧制御システム

3透水係数の式のように計算される。2本のビコルトを用い
3から、各ビコルトの断面積と水位変化をそれぞれ $\Delta A_1, \Delta A_2$,
 $\Delta h_1, \Delta h_2$ とすると Darcy の式¹³⁾

$$-\Delta h_1 \Delta h_2 = k \cdot h \cdot A_s \Delta t / h_s \quad (h=DP)$$

3E. $A_1 \Delta h_1 = A_2 \Delta h_2$, $\Delta h = \Delta h_1 + \Delta h_2$ より上式を横分すれば

$$k = 2.303 \frac{h_s}{A_s(\Delta t - \Delta t)} \frac{A_1 A_2}{A_1 + A_2} \log \frac{h_1}{h_2}$$

となる。

2. 実験結果

Fig.3にコアXにおけるマサ土($G_s=2.62$)と豊浦砂($G_s=2.64$)の動水勾配が4以下のときの拘束圧下の透水性を示してある。マサ土はJIS 1210(1,1法)に準じて実回りで供試体を製作した。実回のエンジニアは $E_c=5.6 \text{ kg/cm}^2/\text{cm}^3$ と $0.5 E_c$ の2種類とした。

豊浦砂の供試体は空中落下
法により製作した。マサ
土の方が豊浦砂に比べて
拘束圧が高くなるのに従
かず透水係数が低下する
割合が大きくなっている。
拘束圧の増加によるこの
ような透水性的低下を

Samarasinghe, A. M. et al. (1982)¹⁴⁾は間隙比の増加
依存式 $k = C e^n / (1+e)$
で与えているが、本実験
結果との関係式を整理
できるようである。実験
結果を整理して Fig.4(a),
(b)に示したが、二つとも

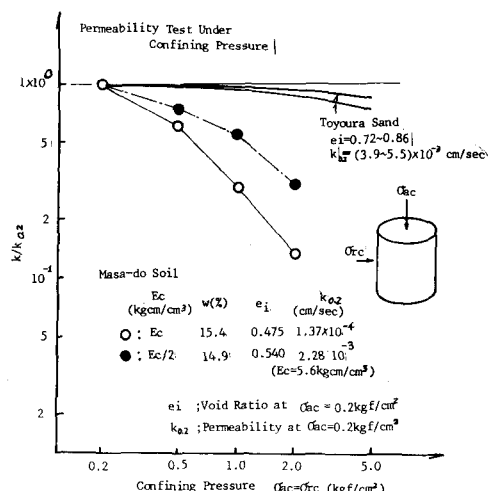
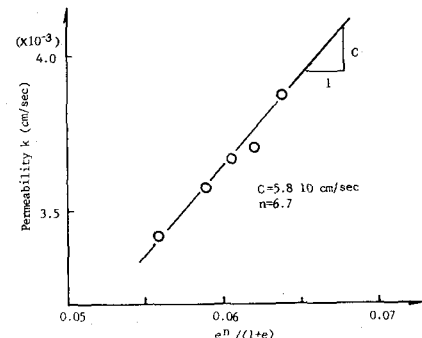
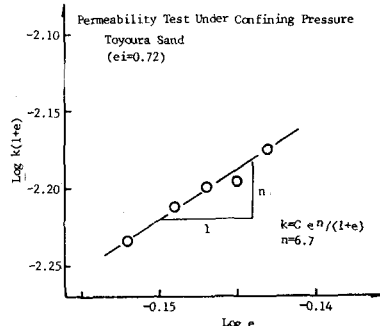
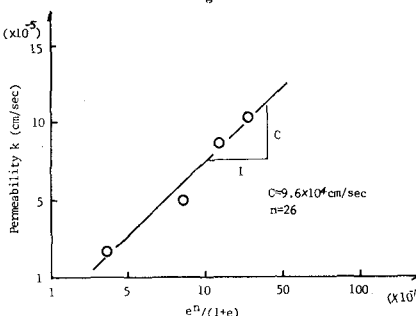
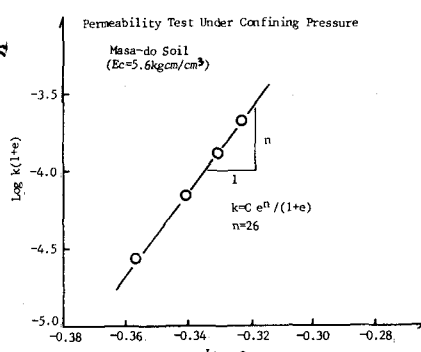


Fig. 3. 透水係数と拘束圧の関係



図からマサ土のようすは Fig. 4(a) 透水係数と間隙比の関係(マサ土)
性土であり、ても砂でありても拘束圧による透水性の低下は間隙比の変化によるものとしてとらえられる。二つとも実際のダム工事に適用すると発生の進行と共に拘束圧が高くなるれば、Eと之間隙圧が発生しEとしても二つが消散し圧密が終了すればそれに応じてコア材の透水係数が小さくなることが可能である。通常の透水試験で透水性と問題がある材料でも拘束圧の高い位置での材料配置が可能で、必然的に使用できるといふではないと言いう。二つの拘束圧による透水性の変化は Samarasinghe, A. M. et al. の式¹⁴⁾を程度固定できるものと考えられ、算式のパラメータからこの式試験で決定しておけば通常の現場透水試験でも材料管理を含めて施工管理が可能と言える。

¹⁴⁾ Samarasinghe, A. M. et al. (1982): Permeability and Consolidation of Normally Consolidated Soils. ASCE GT-6